

DETR.PD-072/79

TÍTULO MODELO DE DENSIFICAÇÃO ASSMANN-STEHLÉ PARA OS CASOS DE PORO NO CONTORNO DO GRÃO E DE PORO EM PONTO TRIPLO

NOTAS CORRELATAS OBJETIVO
 DETR.PD 109/80 Modelar a contração da porosidade situada nos contornos de grão e nos pontos triplos.

LISTA DE DISTRIBUIÇÃO RESUMO E CONCLUSÕES

SUPED * (1)
 ASPC.PD * (1)
 DETR.PD (2)
 DIAAC.PD * (1)
 DIECB.PD (1)
 DIFNU.PD * (1)
 DISCO.PD ()
 DITES.PD ()
 LABFRE.PD ()
 LABTEH.PD ()
 AUTOR(ES) (1)
 SEDOTE.PD (1)

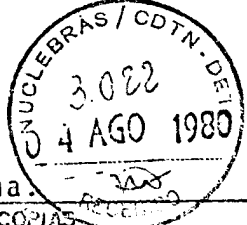
No presente trabalho é proposto um modelo para a contração de poros situados nos contornos de grão e nos pontos triplos e a consequente densificação provocada no combustível. O modelo está baseado numa geometria simples com poros e grãos esféricos.

OUTROS ÍNDICE

DITCO.PD (1)

1. Introdução	2/12
2. Poro no Contorno de Grão	2/12
3. Poro em Pontos Triplos	5/12
4. Ângulo Inicial Máximo θ_{max}^{in}	6/12
5. Cálculo da Taxa de Decréscimo dos Poros	6/12
Referência	
Figuras	8/12

* Apenas folha de rosto



CMa. Nº. COPIAS 10

AUTOR(ES)	VISTO	DATA	APROVAÇÃO	VISTO	DATA
F.S.LAMEIRAS	<i>[Signature]</i>	01.08.80	CHEFE DO LAB. OU GRUPO		
			CHEFE DA DIVISÃO	<i>[Signature]</i>	04.08.80
			CHEFE DO DEPARTAMENTO	<i>[Signature]</i>	4.8.80
CLASSIFICAÇÃO			TAREFA: 11.21.03 21.01		

MODELO DE DENSIFICAÇÃO ASSMANN-STEHLER PARA OS CASOS DE PORO NO CONTORNO DO GRÃO E DE PORO EM PONTO TRIPLO

1. INTRODUÇÃO

O modelo de densificação elaborado por Assmann e Stehler tem sido aceito como uma teoria geral da densificação, uma vez que ele abrange contribuição térmica e o efeito da irradiação. Neste modelo é considerada uma situação geométrica simples, ou seja, grão esférico com poro também esférico situado no centro do grão, visando obter soluções fechadas para este complexo problema. Considera-se a produção de lacunas nas proximidades da superfície dos poros e a migração destas lacunas para os contornos do grão que são tomados como sumidouros efetivos. Uma descrição completa deste modelo pode ser encontrada na referência [1].

Como o percurso de difusão é menor para poros situados nos contornos de grão, pode resultar uma taxa de densificação mais alta para baixas queimas, principalmente em combustíveis onde esta situação é mais frequente. Com o aumento da queima, este efeito seria compensado pelo aumento de produtos de fissão gasosos.

Este trabalho é uma tentativa para abordar a situação de poros no contorno de grão e também em ponto triplo.

2. PORO NO CONTORNO DE GRÃO

A situação geométrica está apresentada na figura 1. Tanto o grão quanto o poro são considerados possuir geometria esférica. O percurso seguido pelas lacunas é perpendicular às superfícies de isoconcentração. A concentração de lacunas é C_i na superfície do poro e C_T no contorno do grão. O acréscimo Δx_{n+1} da superfície n para a superfície $n+1$ está relacionado com o acréscimo angular $\Delta \theta_{n+1}^C$ através da relação:

$$\Delta x_{n+1} = \frac{r_n (\rho_n + \Delta x_{n+1})}{\xi_n} \cdot \frac{\text{sen } \Delta \theta_{n+1}^C}{\text{sen } (\theta_n^C + \Delta \theta_{n+1}^C)} \quad (1)$$

Esta relação pode ser aproximada para o limite de $n+1 \rightarrow \infty$

para:

$$\Delta\theta_{n+1}^C = f(\xi_n, \theta_n^C) \cdot \Delta x_{n+1} \quad (2)$$

onde

$$f(\xi_n, \theta_n^C) = \frac{\xi_n \cdot \text{sen } \theta_n^C}{r_n \cdot \rho_n} \quad (3)$$

$$r = \xi \cdot \cos \theta + (\xi^2 \cdot \cos^2 \theta - \rho^2 \cdot \xi + \rho^2)^{1/2} \quad (4)$$

$$\rho = \sqrt{\rho^2 + \xi^2 - \rho^2 \xi} \quad (5)$$

para $0 \leq \xi \leq 1$

Da equação (4) temos que: —

$$\Delta r = \frac{\partial r}{\partial \xi} \Delta \xi + \frac{\partial r}{\partial \theta} \Delta \theta \quad (6)$$

Aplicando (3) em (5), com $\Delta r = \Delta x$, ou seja:

$$\Delta x_{n+1} = \left. \frac{\partial r}{\partial \xi} \right|_{\xi_n} \cdot \Delta \xi_{n+1} + \left. \frac{\partial r}{\partial \theta} \right|_{\theta_n^C} \cdot f(\xi_n, \theta_n^C) \cdot \Delta x_{n+1} \quad (7)$$

Portanto, Δx_{n+1} , se relaciona com $\Delta \xi_{n+1}$, através de:

$$\Delta x_{n+1} = \frac{\left. \frac{\partial r}{\partial \xi} \right|_{\xi_n}}{1 - \left. \frac{\partial r}{\partial \theta} \right|_{\theta_n^C} \cdot f(\xi_n, \theta_n^C)} \cdot \Delta \xi_{n+1} \quad (8)$$

Através de (8) e (2) é possível calcular numericamente as funções x (ξ, θ^{in}, ρ) e θ^C (ξ, θ^{in}, ρ); onde θ^{in} é a posição angular de partida da lacuna na superfície do poro. A figura 2 mostra x (ξ, θ^{in}, ρ) para alguns valores de θ^{in} e ρ e a figura 3 mostra θ^C (ξ, θ^{in}, ρ).

O fluxo de lacunas ΔQ (θ^{in}) entre os ângulos iniciais θ^{in} e $\theta^{in} + \Delta\theta^{in}$ é dado por:

$$\Delta Q(\theta^{in}) = -D \left. \frac{\partial C}{\partial x} \right|_{\theta^{in}} \cdot 2 \cdot \pi \cdot r(\xi, \theta^C) \cdot \text{sen } \theta^C \cdot \rho(\xi) \cdot \Delta\theta^C \Big|_{\xi} \quad (9)$$

onde

$$\Delta\theta^C \Big|_{\xi} = \frac{\partial\theta^C}{\partial\theta^{in}} \Delta\theta^{in} \quad (10)$$

$$\left. \frac{\partial C}{\partial x} \right|_{\theta^{in}} = \frac{\partial C}{\partial \xi} \cdot \frac{\partial \xi}{\partial x} \quad (11)$$

Combinando (8) e (11)

$$\left. \frac{\partial C}{\partial x} \right|_{\theta^{in}} = \frac{\partial C}{\partial \xi} \cdot \frac{1 - \left. \frac{\partial r}{\partial \theta} \right|_{\theta^C} \cdot f(\xi, \theta^C)}{\left. \frac{\partial r}{\partial \xi} \right|_{\theta^C}} \quad (12)$$

Substituindo (12) e (10) em (9):

$$\Delta Q(\theta^{in}) = -2\pi D \frac{\partial C}{\partial \xi} \cdot \frac{1 - \left. \frac{\partial r}{\partial \theta} \right|_{\theta^C} \cdot f(\xi, \theta^C)}{\left. \frac{\partial r}{\partial \xi} \right|_{\theta^C}} \cdot \frac{\partial\theta^C}{\partial\theta^{in}} \cdot \text{sen } \theta^C \cdot \rho(\xi) \cdot r(\xi, \theta^C) \cdot \Delta\theta^{in} \quad (13)$$

Integrando em ξ :

$$-2\pi D (C_i - C_T) \frac{\Delta\theta^{in}}{\Delta Q(\theta^{in})} = \int_0^1 \frac{\left. \frac{\partial r}{\partial \xi} \right|_{\theta^C}}{\left[1 - \left. \frac{\partial r}{\partial \theta} \right|_{\theta^C} \cdot f(\xi, \theta^C) \right] \frac{\partial\theta^C}{\partial\theta^{in}} \cdot \rho(\xi) \cdot r(\xi, \theta^C) \cdot \text{sen } \theta^C} d\xi \quad (14)$$

Colocando

$$I(\theta^{in}, \rho) = \int_0^1 \frac{\left. \frac{\partial r}{\partial \xi} \right|_{\theta^c}}{\left[1 - \left. \frac{\partial r}{\partial \theta} \right|_{\theta^c} \cdot f(\xi, \theta^c) \right] \frac{\partial \theta^c}{\partial \theta^{in}} \cdot \rho(\xi) \cdot r(\xi, \theta^c) \cdot \text{sen } \theta^c} d\xi \quad (15)$$

e integrando em θ^{in}

$$Q(\rho) = - 2\pi D(C_i - C_T) \int_0^{\theta_{max}^{in}} \frac{1}{I(\theta^{in}, \rho)} d\theta^{in} \quad (16)$$

sobre θ_{max}^{in} veja seção 4.

3. PORO EM PONTOS TRÍPLOS

A única diferença em relação ao caso anterior é que as equações (4) e (5) devem ser substituídas, respectivamente, por (figura 4):

$$r = \xi \cdot \cos \theta + (\xi^2 \cdot \cos^2 \theta - \rho \cdot \xi + \rho^2)^{1/2} \quad (17)$$

$$\rho = \sqrt{\rho^2 + \xi^2 - \rho\xi} \quad (18)$$

para $0 \leq \xi \leq 1 + \Delta\rho$, onde:

$$\Delta\rho = \frac{\rho + \sqrt{4 - 3\rho^2}}{2} - 1 \quad (19)$$

4. ÂNGULO INICIAL MÁXIMO $\theta_{\max}^{\text{in}}$

A situação está apresentada na figura 5. No modelo deve ser considerado um caminho mínimo x_{\min} , pois senão teríamos uma divergência do gradiente de lacunas para $\theta = \arccos \rho/2$ (contorno de grão) ou $\theta = \pi/3$ (ponto triplo). Este caminho x_{\min} está relacionado com $\theta_{\max}^{\text{in}}$, que por sua vez está relacionado com o ângulo ψ de curvatura do contorno de grão na superfície do poro através de:

$$\theta_{\max}^{\text{in}} = \arccos \frac{\rho}{2} - \arcsen \left(\frac{\delta}{\rho} \cdot \sin \frac{\psi}{2} \right) \quad (20)$$

onde δ é a profundidade de abertura.

Além do mais,

$$\psi = 2 \cdot \arccos \frac{\gamma_{cg}}{2\gamma_s} \quad (21)$$

onde:

γ_{cg} = tensão superficial nos contornos de grão;

γ_s = tensão superficial

5. CÁLCULO DA TAXA DE DEGRÉSCIMO DOS POROS

Calculada a integral (16), $Q(\rho)$ está relacionado com a variação de volume através da equação:

$$\frac{dV}{dt} = j \cdot Q(\rho) \cdot R \quad (22)$$

sendo R o raio do grão e j um parâmetro que depende do caso:

$j = 2$ para poro no contorno de grão;

$j = 3$ para poro em ponto triplo.

Então,

$$4\pi R^2 \rho^2 R \frac{d\rho}{dt} = -j \cdot Q(\rho) \cdot R$$

$$\frac{d\rho}{dt} = - j \cdot Q(\rho) / 4\pi R^2 \rho^2 \quad (23)$$

REFERÊNCIA

- [1] ASSMANN, H. e STEHLE, H. Thermal and In-reactor Densification of UO_2 : Mechanisms and Experimental Results. Nuclear Engineering and Design, England, 48 (1): 49-67, Jun, 1978

DETR. PD-073/79

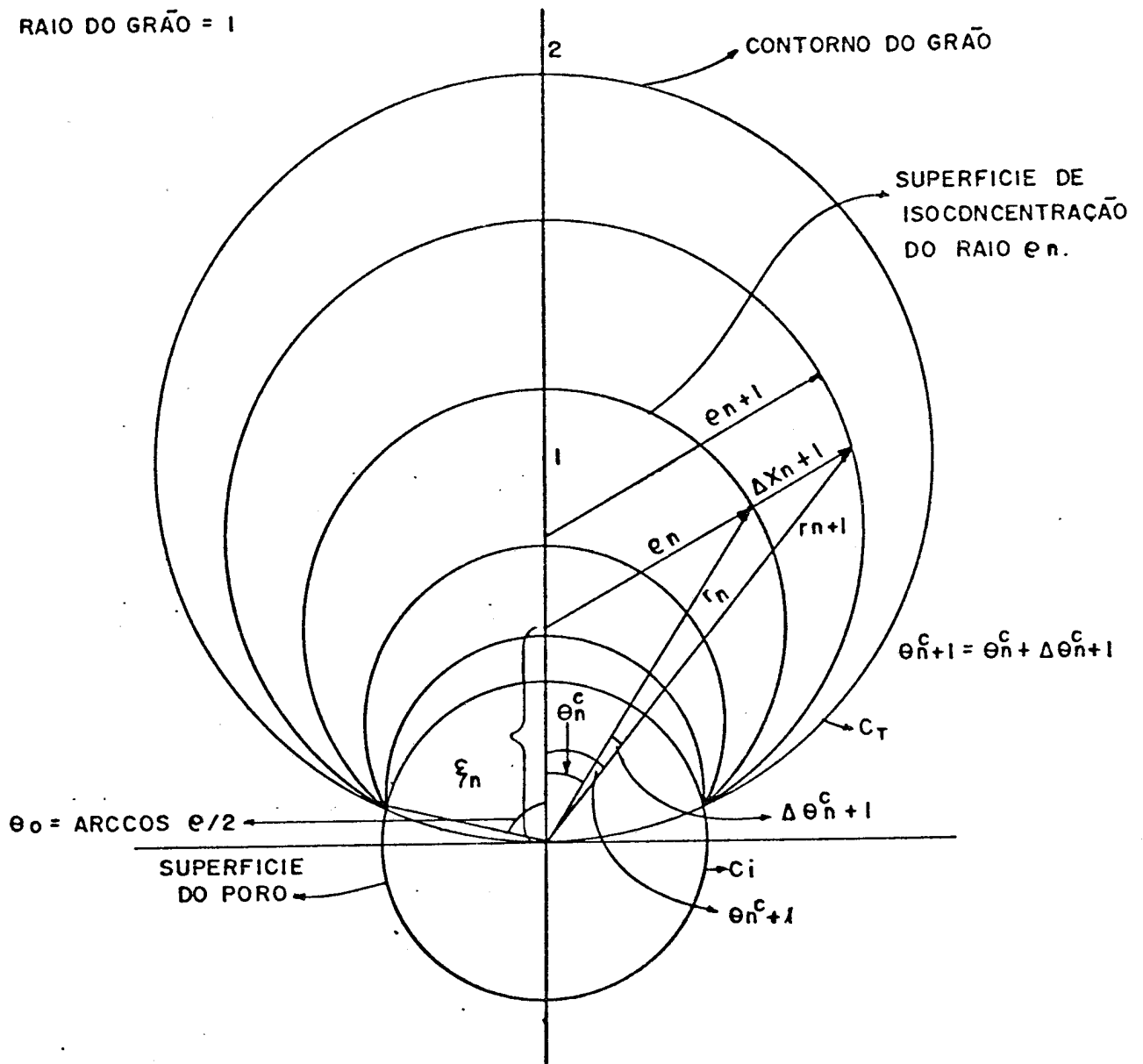


FIGURA 1: Poro no Contorno de Grão.

DETR.PD-073/79

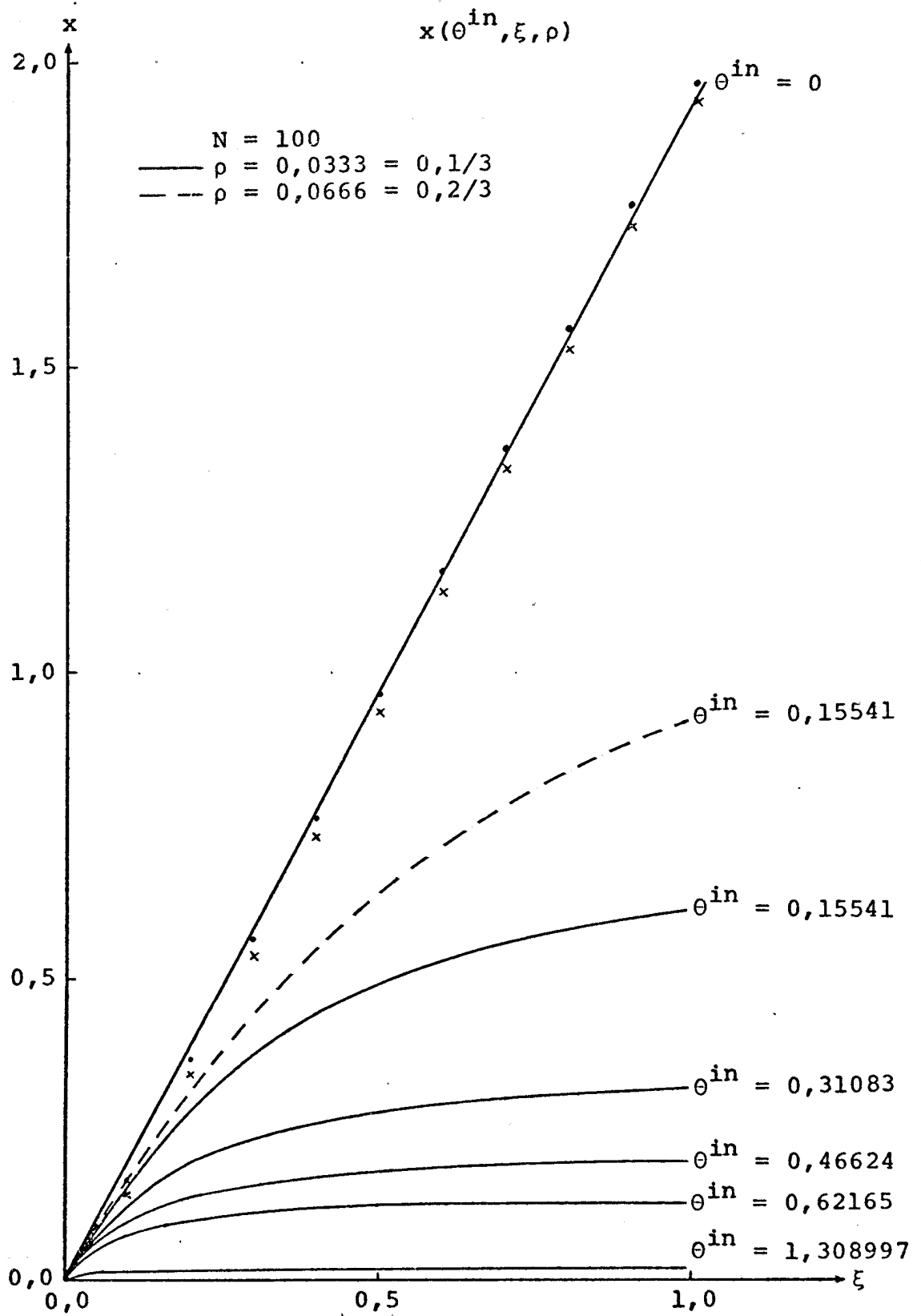


FIGURA 2: Variação de $x(\theta^{in}, \xi, \rho)$

DETR.PD-073/79

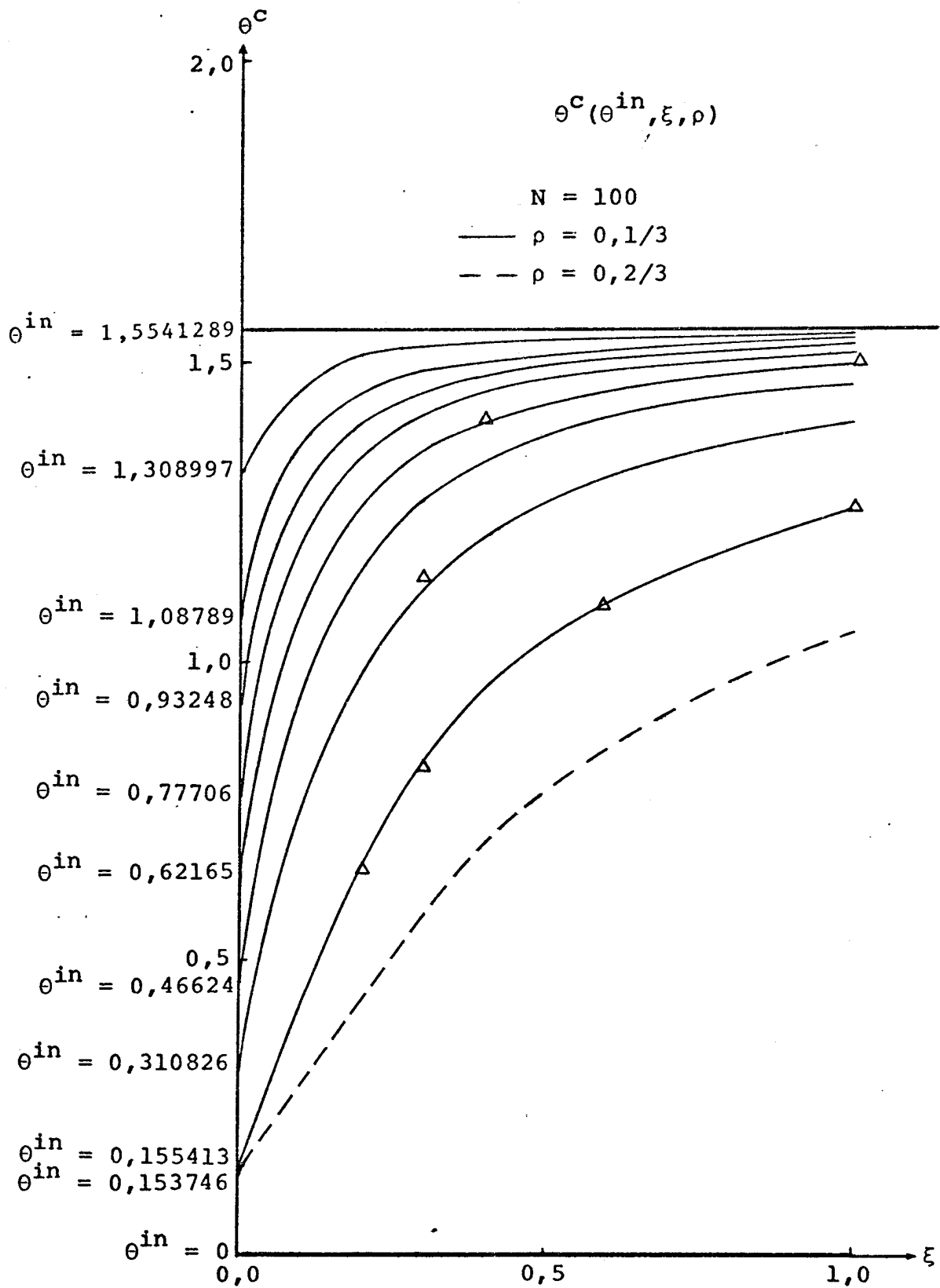


FIGURA 3: Variação de $\theta^c(\theta^{in}, \xi, \rho)$

DETR.PD-073/79

RAIO DO GRÃO = 1

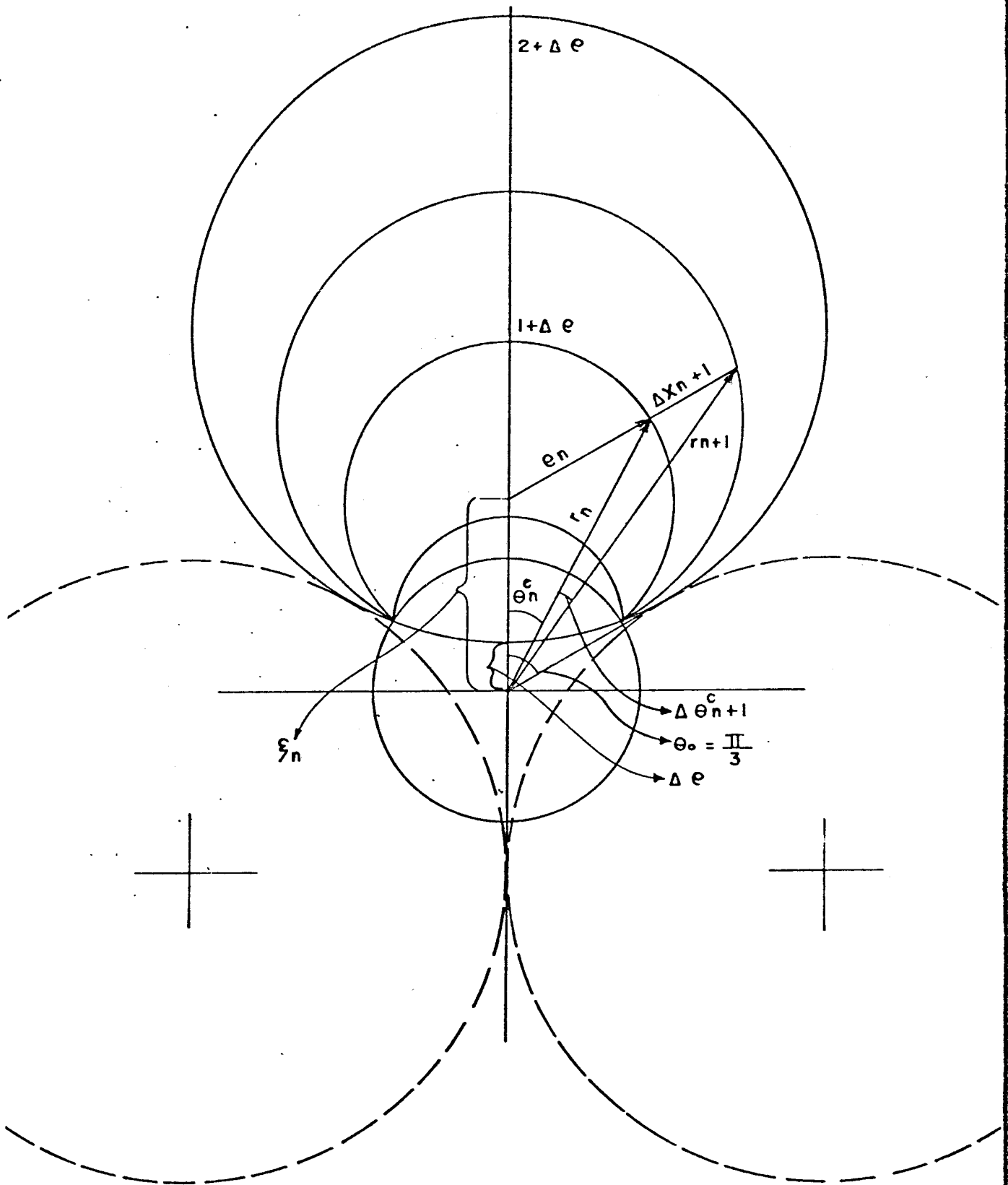
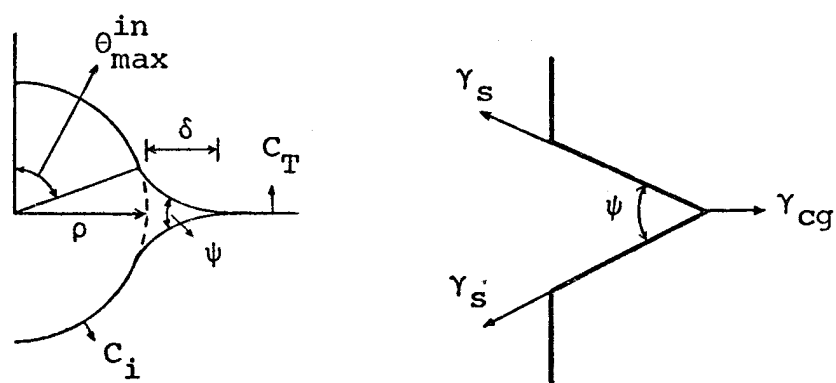


FIGURA 4: Poro no Ponto Triplo.



$$UO_2 : \gamma_{cg} \approx 3 \times 10^{-5} \text{ J/cm}^2$$

$$\gamma_s \approx 6 \times 10^{-5} \text{ J/cm}^2$$

FIGURA 5: Condições geométricas e de equilíbrio de tensões superficiais no encontro do poro com o contorno de grão.